

## 인덕턴스에 의한 DC모터의 비선형 T-N곡선의 산출

성 부 현<sup>o</sup>, 이 진 원, 좌 성 춘  
삼성전자 중앙연구소

## Calculation of Nonlinear T-N Curve of DC Motor by Inductance

Bu-Hyun Sung<sup>o</sup>, Jin-Won Lee, Sung-Hoon Choa,  
Corporate R&D Center, Samsung Electronics

**Abstract :** DC모터의 T-N(토크-회전수)특성이 선형성을 갖는다는 사실은 널리 알려져 있다. 더욱이 인덕턴스가 작은 소형 모터의 경우에는 T-N특성이 거의 직선에 가깝게 된다. 그러나 대형모터일수록 인덕턴스가 커지므로 이 인덕턴스의 영향으로 T-N특성은 비선형의 곡선으로 변하게 된다. 이렇게 되면 모터의 출력은 직선으로 예측하였을 때 보다 실제적으로 작은 출력이 발생하게 된다. 따라서 일반적으로 DC모터를 설계할 때 T-N특성의 비선형화로 인한 출력의 감소현상을 고려하여 임의의 여유를 주고 설계하여 왔다. 그러나 효율적인 모터설계를 위하여서는 임의의 여유가 아닌, 이론적 계산에 의한 정확한 T-N특성의 곡선을 필요로 하게 된다. 하지만 아직까지 이를 위한 용이한 계산법은 마련되어 있지 않다. 따라서 본 논문에서는 matlab을 이용하여 DC모터의 비선형 T-N곡선의 계산법을 도출하여 그 방법을 제시하고자 한다.

## 1. 서 론

모터의 특성중 가장 기본적인 특성은 T-N(토크-회전수)특성이다. DC모터에서의 T-N 특성은 그림 1의 (a)와 같이 선형의 특성을 나타낸다. 그러나 모터의 인덕턴스(inductance)가 커질수록, 즉 모터가 대형화될수록 T-N 특성은 인덕턴스의 영향을 받아 그림 1의 (b)와 같이 곡선화 된다[1]. 이 현상으로 T-N특성의 선형성이 비선형화가 될뿐더러 모터의 출력도 (a)로 예상했을 때에 비하여 감소되어 나타난다. 그러므로 대형 DC모터를 설계할 때는 반드시 인덕턴스의 영향을 고려하여 T-N 특성을 설계하여야만 한다. 그러나 대부분의 경우 대형 DC모터의 T-N 특성을 설계할 때에 인덕턴스의 영향에 대비하여 경험치에 의한 마진(margin)을 주는 방법을 이용하고 있다. 이러한 대형 DC모터의 설계방법은 비효율적인 설계가 될 뿐 아니라, 모터 제작 후 또다시 설계변경을 해야만 하는 경우가 발생하기도 한다.

본 논문에서는 Matlab을 이용하여 인덕턴스의 영향에 의한 DC모터의 비선형 T-N 특성을 정확히 산출하고자 했다. 또한 DC모터에 있어서 인덕턴스의 영향에 의한 특성의 변화를 쉽게 이해하고자 Matlab의 Simulink 기능을 이용하여 시뮬레이션(simulation) 하였다.

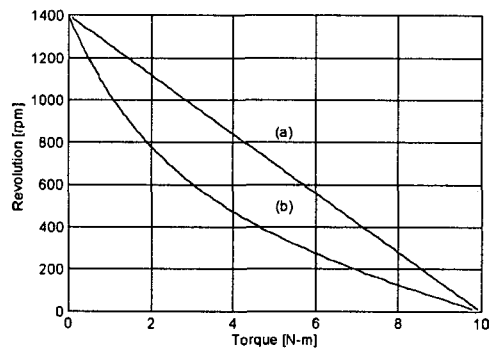


그림 1 DC모터의 T-N 곡선

## 2. 모델링

라플라스 변환된 모터방정식은 아래와 같다.

$$V(s) = RI(s) + sLI(s) + E_g(s) \quad (1)$$

$$E_g(s) = K_E N(s) \quad (2)$$

$$T(s) = sJN(s) + DN(s) + T_L(s) \quad (3)$$

$$T(s) = K_T I(s) \quad (4)$$

식 (1)과 (3)을 전류와 회전수에 관하여 정리하면 아래식 (5), (6)과 같다.

$$I(s) = \frac{V(s) - E_g(s)}{sL + R} \quad (5)$$

$$N(s) = \frac{T(s) - T_L(s)}{sJ + D} \quad (6)$$

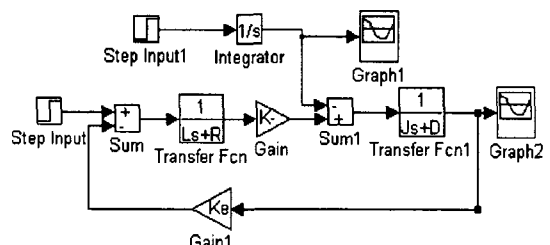


그림 2 Matlab을 이용한 DC모터의 전달함수 블록도

위의 식들에 의한 전달함수를 블록도로 그림 2에 나타

내었으며 Matlab을 이용하여 시뮬레이션 하였다. 위의 불록도를 시뮬레이션하기 위한 샘플모터로서는 당시 연구실에서 개발한 3상 4극의 브러시리스 DC모터를 이용하였는데 그 사양은 아래 표 1과 같다.

표 1 샘플 모터의 사양

항 목	값	단위
입력전압 ( $V$ )	50	volt
선간 저항 ( $R$ )	1.7	$\Omega$
선간 인덕턴스 ( $L$ )	24	mH
관성모멘트 ( $J$ )	0.0005	$kg \cdot m^2$
토오크상수 ( $K_T$ )	0.35	$N \cdot m/A$
역기전압상수 ( $K_E$ )	0.35	$V \cdot sec/rad$
마찰계수 ( $D$ )	0.0005	$N \cdot m \cdot sec/rad$

### 3. 시뮬레이션 및 고찰

시뮬레이션 시 전압은 스텝함수(step function)로 입력하였으며 외부부하( $T_L$ )는 일차로 증가하는 함수로 입력하였다. 외부부하는 그림 2의 Graph 1에서 나타나도록 하였다. 또한 그에 따른 회전수의 변화는 그림 2의 Graph 2에 나타나도록 하였다. 그 결과는 각각 그림 3과 그림 4와 같다.

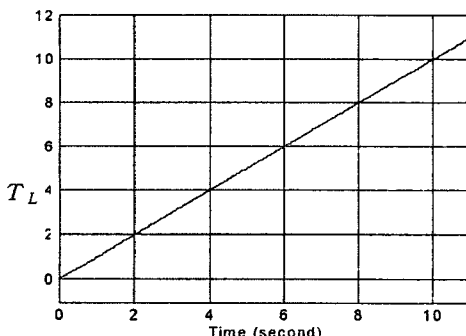


그림 3 시간에 따른 외부부하의 변화

위의 그림 3과 4는 가로축이 모두 시간 축이므로, 그림 4의 가로축을 그림 3의 외부부하로써 치환시킬 수 있다. 이렇게 하면 그림 4를, 가로축을 토크 축으로 하는 T-N 특성의 그래프로서 볼 수 있다. 이때의 T-N 특성은 인덕턴스의 영향이 없는 선형의 특성을 보인다. 이는 불록도를 시뮬레이션 할 때 스위칭을 고려하지 않기 때문에 적류성분만 반영되어 인덕턴스에 의한 전류의 감소분이 나타나지 않기 때문이다. 실제로 모터가 스위칭 될 때 인덕턴스에 의하여 전류지연이 발생되고, 이에 의하여 전류 감소분이 나타나게 된다. 이때 전류 지연각은 아래 식 (7)과 같다.

$$\theta = \tan^{-1} \frac{X_L}{R} \quad (7)$$

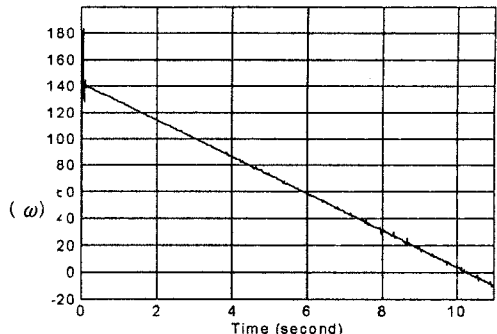


그림 4 시간에 따른 회전수의 변화

이때 임의의 회전수들에 대한 전류 지연 곡형의 예를 그림 5에 나타내었다.

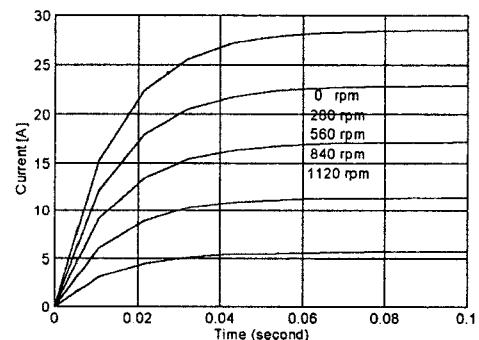


그림 5 임의의 회전수에 대한 전류의 지연 곡형

3상 4극 DC모터의 스위칭에 의하여 전류가 입력되는 시간은 아래의 식 (8)과 같이 나타낼 수 있다.

$$T = \frac{1}{2N \times 2/60} \quad (8)$$

여기서,  $N$ 은 회전수(rpm)이다.

위의 식 (8)로부터 인덕턴스의 영향의 유무에 따른 스위칭시간 내에서의 총 입력전류의 양을 구할 수 있다.

1) 인덕턴스의 영향을 반영할 때

$$I_1 = \int_0^T I_0 (1 - e^{-\frac{R}{L}t}) dt \quad (9)$$

2) 인덕턴스의 영향을 반영안할 때

$$I_2 = I_0 \times T \quad (10)$$

그림 6에 위의 식 (9), (10)을 회전수에 대해서 그래프로 나타내었다. 그림 6에서 볼 때 두 그래프의 차이를 구별하기 쉽지 않으므로, 그림 7에서는 고회전 영역에서 만의 세부적인 그래프를 나타내었다. 그림 7을 보았을 때 인덕턴스의 영향유무에 따라서 입력되는 전류의 양이 크게 차이가 나게 됨을 확인할 수 있다. 인덕턴스의 영향 유무에 따른 전류량의 비(current ratio)를  $\rho$ 라하고

아래의 식(11)로서 나타내면, 그림 8과 같은 그래프로서 전류량의 비를 표현할 수 있다.

$$p = \frac{I_1}{I_2} \times 100 \quad (11)$$

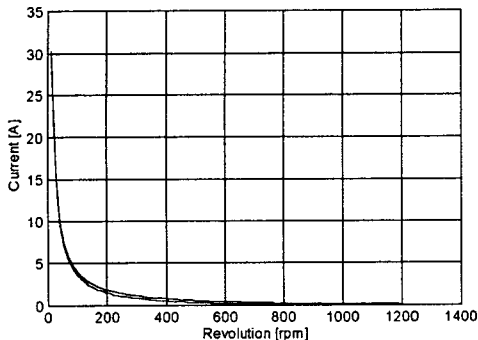


그림 6 전회전 영역에서의 인덕턴스 영향 유무에 따른  
입력전류의 차이

- (상) 인덕턴스 영향 미반영
- (하) 인덕턴스 영향 반영

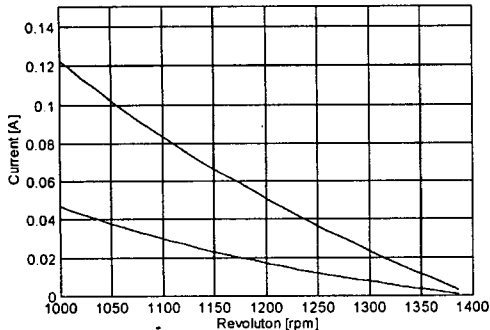


그림 7 고회전 영역에서의 인덕턴스 영향 유무에 따른  
입력전류의 차이

- (상) 인덕턴스 영향 미반영
- (하) 인덕턴스 영향 반영

인덕턴스의 영향 유무에 따른 각각의 토크는 아래 식과 같다.

$$T_1 = K_T I_0 p \quad (12)$$

$$T_2 = K_T I_0 \quad (13)$$

따라서 회전수는 아래 식과 같이 계산된다.

$$N_1 = \frac{60}{2\pi} \times \frac{V_a - I_0 R p}{K_E} \quad (14)$$

$$N_2 = \frac{60}{2\pi} \times \frac{V_a - I_0 R}{K_E} \quad (15)$$

식 (12), (13), (14)와 (15)를 이용하면 그림 9와 같이 인덕턴스의 영향에 의한 T-N곡선을 산출할 수 있다. 그림 8에서 볼 때 회전수가 높아질수록 전류량의 차이가 커지는 것을 알 수 있다. 전류량의 차이가 커지는데도 불구하고

그림 9의 고회전 영역에서 T-N곡선의 차이가 적어지는 이유는, 식 (8)에서처럼 고회전 영역에서는 스위칭시간이 0에 가까워지기 때문에 총 입력전류가 각각의 경우 모두 0에 수렴되기 때문이다.

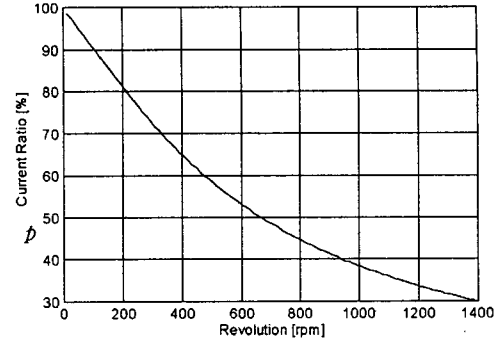


그림 8 인덕턴스 영향 유무에 따른 전류량의 비  $p$

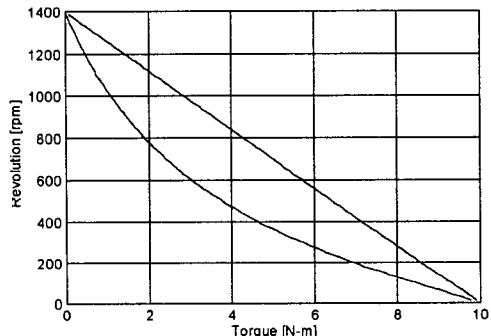


그림 9 Matlab에 의하여 산출된 T-N곡선

- (상) 인덕턴스 영향 미반영
- (하) 인덕턴스 영향 반영

#### 4. 결 론

DC모터의 T-N특성이 인덕턴스 영향에 의하여 곡선화되는 것을 모터 설계 시에 예측하는 것은 매우 중요하다. 하지만 이를 산출하는 방법은 일반화 되어있지 않다. 본 논문에서는 대형 DC모터가 인덕턴스의 영향에 의하여 곡선화된 T-N특성의 정량적인 값을 산출할 수 있는 방법을 Matlab을 이용하여 도출하였다. 그리고 이 과정에 있어서 T-N특성이 곡선화되는 원리 또한 Matlab을 이용하여 세부적으로 다룸으로써 이해하기 용이하도록 하였다.

#### [참 고 문 헌]

- [1] J.R. Hendershot Jr. and TJE Miller, Design of Brushless Permanent-Magnet Motors, Magna Physics Publishing and Clarendon Press Oxford, pp. 5/39-5/42, 1994.